

AutoML – Projekt 1 – raport

Sebastian David Botero Leonik, Bartosz Pokora, Franciszek Saliński

Listopad 2025

1 Wstęp

W naszym projekcie postanowiliśmy jako metody samplingu wybrać *RandomSearch* oraz *Bayes optimization*. Testowane przez nas modele to *LogisticRegression*, *RandomForest* oraz *XGBoost*, wszystkie wykorzystaliśmy do zadania klasyfikacji binarnej. Wybraliśmy 4 zbiory danych z OpenML: *higgs*, *sf-police-incidents*, *adult* i *credit-g*. W projekcie wykonaliśmy następujące punkty:

1. Obliczenie "optymalnych" defaultów według definicji w [1], korzystając z historii random search.
2. Wyznaczenie najlepszych kombinacji dla danego modelu i zbioru danych za pomocą zarówno random search jak i bayes optimization. Na wykresach porównaliśmy szybkość zbieżności obu metod.
3. Wykorzystanie obliczeń z poprzedniego podpunktu do określenia ogólnej tunowalności algorytmów.
4. Określenie tunowalności pojedynczych hiperparametrów za pomocą dodatkowego random search.

2 Przygotowanie zbiorów danych

W celu umożliwienia użycia wszystkich modeli, wprowadzeniu większej różnorodności w rozmiarach zbiorów danych i przyspieszenia obliczeń, poddaliśmy datasety samplingowi oraz prostemu pipeline'owi, który kodował zmienne kategoryczne, standaryzował zmienne i wybierał podzbior zmiennych najbardziej istotnych zmiennych według modelu Random Forest. Rozmiary przekształconych datasetów to:

1. credit-g – (1000,12)
2. adult – (20000, 26)
3. sf-police-incidents – (40000, 1469)
4. higgs – (50000, 10)

Ogromna liczba kolumn w sf-police-incidents wynika z binarnego encodowania kolumny unikalnych adresów, gdzie popelnione zostały przestępstwa. Oczywiście coś takiego nie ma sensu, jeśli chcemy stworzyć faktycznie dobry model. Zdecydowanie lepiej byłoby na przykład odzyskać z adresów koordynaty. Stwiedziliśmy natomiast, że zobaczymy co się dzieje, jeżeli podejdziemy do zbiorów danych czysto mechanicznie/matematycznie, nie korzystając z żadnej dodatkowej wiedzy "eksperckiej".

3 Sprawdzane zakresy hiperparametrów

Zakresy sprawdzanych hiperparametrów zaczerpnęliśmy z [1]. Różnice wynikają z użycia innych implementacji rozważanych modeli.

3.1 Logistic Regression

- $C \sim \text{LogUniform}(2^{-10}, 2^{10})$
- $\text{l1_ratio} \sim \text{Uniform}(0, 1)$

3.2 Random Forest

- $\text{n_estimators} \sim \text{DiscreteUniform}(5, 300)$
- $\text{min_samples_leaf} \sim \text{DiscreteUniform}(1, 100)$
- $\text{max_features} \in \{\text{sqrt}, \log_2\}$

3.3 XGBoost

- `n_estimators` ~ DiscreteUniform(1, 5000)
- `max_depth` ~ DiscreteUniform(1, 15)
- `learning_rate` ~ LogUniform(2^{-10} , 2^0)
- `subsample` ~ Uniform(0.1, 1.0)
- `colsample_bytree` ~ Uniform(0, 1)
- `colsample_bylevel` ~ Uniform(0, 1)
- `reg_lambda` ~ LogUniform(2^{-10} , 2^{10})
- `reg_alpha` ~ LogUniform(2^{-10} , 2^{10})

4 Defaulty

Defaulty zostały wybrane według definicji w [1], czyli jako zestaw parametrów, który średnio najlepiej radzi sobie na datasetach. Otrzymane wyniki to:

4.1 Logistic Regression

- $C = 2.703833014029592$
- $l1_ratio = 0.4330742481104214$
- Średnie cv AUC = 0.7420233693386228

4.2 Random Forest

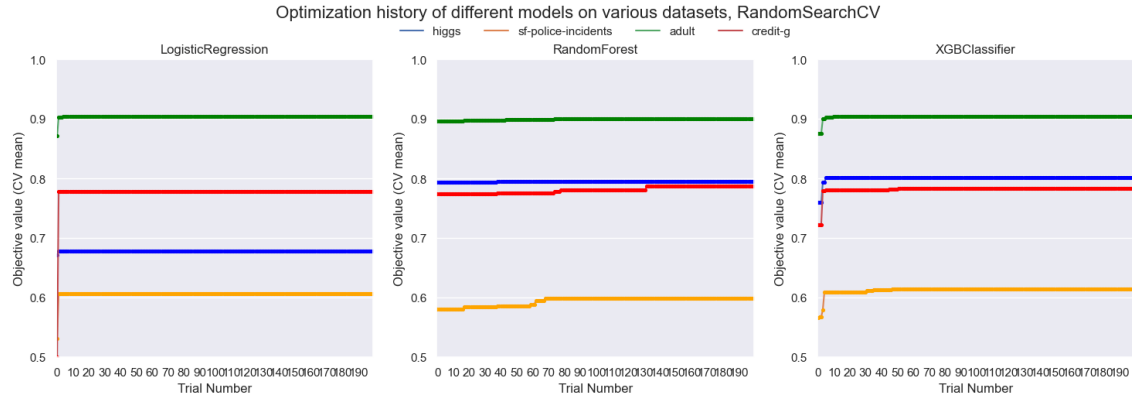
- `n_estimators` = 132
- `min_samples_leaf` = 3
- `max_features` = 'sqrt'
- Średnie cv AUC = 0.7690873357968596

4.3 XGBoost

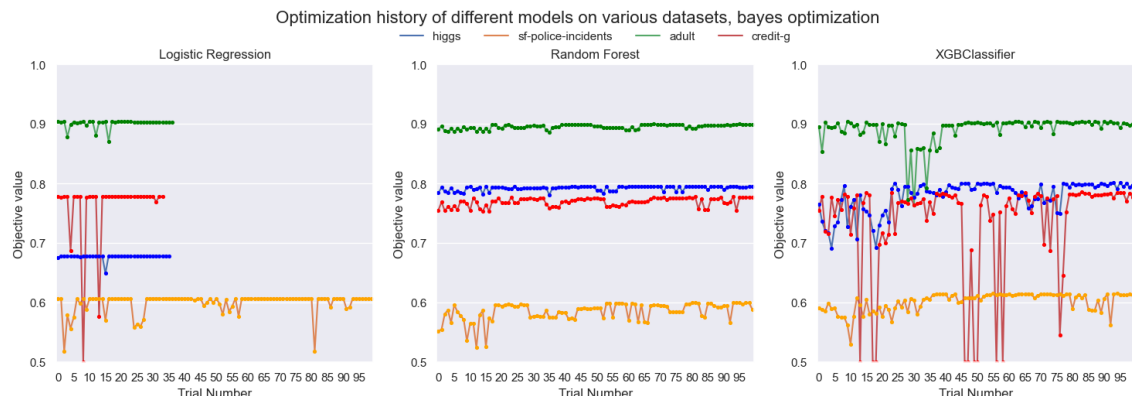
- `n_estimators` = 4799
- `max_depth` = 10
- `learning_rate` = 0.0011584669622169
- `subsample` = 0.2316777631402585
- `colsample_bytree` = 0.7259027723025078
- `colsample_bylevel` = 0.6411364308215736
- `reg_lambda` = 0.0685457715422182
- `reg_alpha` = 0.0245844336635187
- Średnie cv AUC = 0.7714287119005276

5 Szybkość zbieżności metod samplingu

Wykresy 1 i 2 ukazują szybkość i stabilność zbieżności obu metod samplingu do znajdowania optymalnych hiperparametrów. Możemy zaobserwować, że *RandomSearch* już po niewielkiej liczbie iteracji znajdował parametry dające wynik bliski maksimum. Podobnie możemy powiedzieć o *Bayes optimization*. Warto zwrócić uwagę, że w przypadku *Bayes optimization* wykres pokazuje wartości w kolejnych iteracjach, a w przypadku *RandomSearch* jest to maksimum wartości z dotychczasowych iteracji.



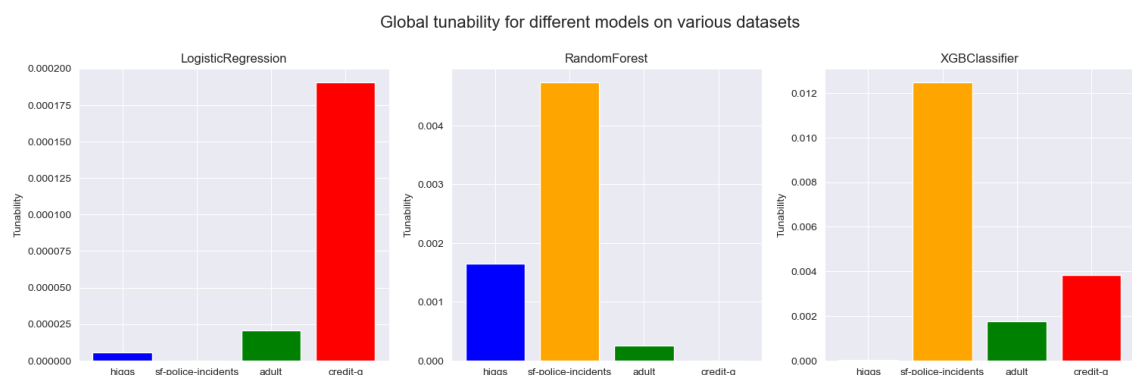
Rysunek 1: Historia optymalizacji RandomSearch



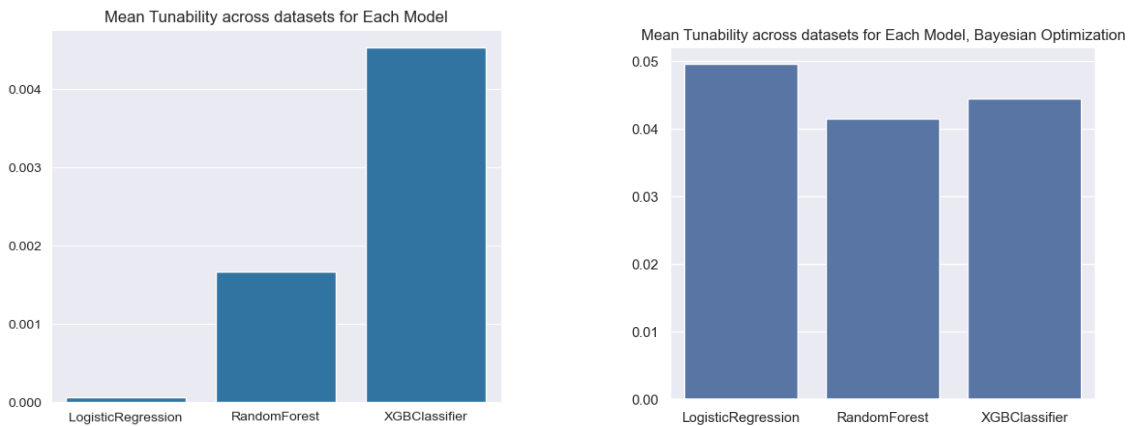
Rysunek 2: Historia optymalizacji bayesowskiej

6 Tunowalność algorytmów

Znalezione tunowalności na badanych przez nas datasetach okazały się dość małe (chociaż bliżej średnim tunowalnościom z eksperymentu w [1], co wskazuje na znikomy zysk z tuningu pod konkretny dataset).



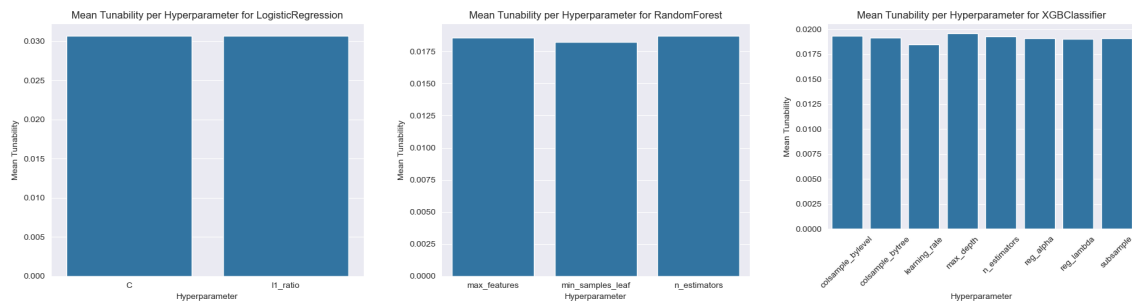
Rysunek 3: Tunowalność modeli



Rysunek 4: Średnia tunowalność modeli dla różnych metod samplingu

7 Tunowalność hiperparametrów

Średnie tunowalności pojedynczych hiperparametrów prawie nie różnią się od siebie, co wskazuje na ich równe znaczenie (lub być może raczej brak znaczenia, przynajmniej na czterech rozważanych datasetach).



Rysunek 5: Średnia tunowalność pojedynczych hiperparametrów

Literatura

- [1] Philipp Probst, Anne-Laure Boulesteix, Bernd Bischl, *Tunability: Importance of Hyperparameters of Machine Learning Algorithms*